

1

Un peu de géométrie convexe

1.1 Faces d'un ensemble convexe

1.1.1. Convexité. — On rappelle, étant donné un espace affine A sur \mathbf{R} , qu'une partie $C \subseteq A$ est dite *convexe* lorsque le segment $[x, y]$ est contenu dans C pour tout couple (x, y) de points de C . La *dimension* de C , notée $\dim C$, est alors la dimension de son enveloppe affine $\text{aff } C$. L'intérieur et la frontière de C sont toujours considérés relativement à l'espace topologique $\text{aff } C$.

Remarque 1.1.2 Un convexe non vide est d'intérieur non vide.

Théorème 1.1.3 — Carathéodory

Tout point de l'enveloppe convexe d'une partie A d'un espace affine de dimension d est barycentre de $d + 1$ points de A .

—— *Démonstration* ——

Étant donné $y \in \text{conv } A$, il existe un entier r minimal, des réels positifs λ_i et des points x_i de A vérifiant :

$$y = \sum_{i=0}^r \lambda_i x_i \quad \text{et} \quad \sum_{i=0}^r \lambda_i = 1$$

Si $r \geq d + 1$, alors la famille x_0, \dots, x_r n'est pas affinement indépendante. Autrement dit, il existe des réels μ_0, \dots, μ_r non tous nuls tels que :

$$\sum_{i=0}^r \mu_i x_i = 0 \quad \text{et} \quad \sum_{i=0}^r \mu_i = 0$$

On peut supposer avoir $\mu_r > 0$ et $\lambda_i/\mu_r < \lambda_r/\mu_r$ pour tout i tel que $\mu_i > 0$. Alors :

$$x_j = - \sum_{i=0}^{r-1} \frac{\mu_i}{\mu_r} x_i \quad \text{puis} \quad y = \sum_{i=0}^{r-1} \left(\lambda_i - \frac{\lambda_r}{\mu_r} \mu_i \right) x_i$$

et on vérifie immédiatement que :

$$\sum_{i=0}^{r-1} \left(\lambda_i - \frac{\lambda_r}{\mu_r} \mu_i \right) = 1 \quad \text{et} \quad \forall i < r, \lambda_i - \frac{\lambda_r}{\mu_r} \mu_i \geq 0$$

C'est absurde car r est supposé minimal, donc $r \leq d$.

On travaille implicitement dans le reste de chapitre dans un espace affine euclidien ambiant E .

Définition 1.1.4

Soit K un convexe fermé. Une *face exposée* de K est une partie de K vide ou de la forme $H \cap K$ avec H hyperplan d'appui de K dans $\text{aff } K$.

L'ensemble des faces exposées de K est noté $\mathcal{F}_{\text{exp}}(K)$.

Ses éléments maximaux pour la relation d'inclusion forment l'ensemble $\overline{\mathcal{F}}(K)$.

1.1.5. Premières propriétés. — Si $F = H \cap K$ est face exposée non vide d'un convexe fermé K , alors $\text{aff } F \subseteq H$ puis $\text{aff } F \cap K \subseteq H \cap K = F$. L'inclusion réciproque étant évidente, il vient que :

$$F = \text{aff } F \cap K$$

et c'est vrai également dans le cas où F est vide.

En particulier, si $F \subseteq F'$ sont deux faces exposées de K de même dimension, alors $F = F'$. Cela assure par exemple que l'ensemble $\mathcal{F}_{\text{exp}}(K)$ est inductif.

Proposition 1.1.6

Étant donné un convexe fermé K :

- (1) Les éléments de $\mathcal{F}_{\text{exp}}(K)$ sont des parties convexes fermées de ∂K .
- (2) L'ensemble $\mathcal{F}_{\text{exp}}(K)$ est stable par intersections finies non vides.

Démonstration

(1) Clair.

(2) Soient $F_1, \dots, F_m \in \mathcal{F}_{\text{exp}}(K)$. On note :

$$F = \bigcap_{i=1}^m F_i$$

Si F est vide alors il n'y a rien à faire. Sinon on fixe $a \in F$. Il existe alors pour tout i un vecteur non nul u_i tel que, si H_i désigne l'hyperplan d'équation $\langle x - a, u_i \rangle = 0$:

$$F_i = H_i \cap K \quad \text{et} \quad \forall x \in K, \langle x - a, u_i \rangle \leq 0$$

Le vecteur $u = \sum_i u_i$ est non nul, car si $b \in \text{int } K$ alors $\langle b - a, u \rangle < 0$.
Finalement, si H désigne l'hyperplan d'équation $\langle x, u \rangle = 0$:

$$F = H \cap K \quad \text{et} \quad \forall x \in K, \langle x, u \rangle \leq 0$$

et H est un hyperplan d'appui de K en a , d'où $F \in \mathcal{F}_{\text{exp}}(K)$.

On fixe dans la suite un convexe fermé K .

Proposition 1.1.7

| Si K n'est pas réduit à un point, alors $\partial K = \bigcup \overline{\mathcal{F}(K)}$.

—— Démonstration ———

Si K est vide, il n'y a rien à faire. Sinon, le théorème de séparation des convexes assure que tout point de la frontière de K appartient à une face exposée, et le lemme de Zorn permet de conclure.

Remarque 1.1.8 Si $C' \in \mathcal{F}_{\text{exp}}(C)$ et $C'' \in \mathcal{F}_{\text{exp}}(C')$, on n'a pas nécessairement $C'' \in \mathcal{F}_{\text{exp}}(C)$.
REGARDER LE CONVEXE SUIVANT DANS \mathbf{R}^2 , POINTS EXTREMAUX \neq POINTS EXPOSÉS.

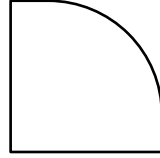


Figure 1.1

La remarque précédente justifie la définition suivante :

Définition 1.1.9

| Une *face* de K est une partie F de K telle qu'il existe une suite de convexes fermés :

$$K = F_0 \supseteq \dots \supseteq F_k = F$$

telle que $F_i \in \mathcal{F}_{\text{exp}}(F_{i-1})$ pour $1 \leq i \leq k$.

| On désigne par $\mathcal{F}(K)$ l'ensemble des faces de K .

Remarque 1.1.10 L'ensemble des faces propres maximales de K est exactement $\overline{\mathcal{F}(K)}$.

Proposition 1.1.11

| Si F est une face de K , alors les faces de F sont les faces de K contenues dans F .

—— Démonstration ———

Il suffit de traiter le cas où F est une face exposée de K .

Étant donnée une face F' de K contenue dans F , on considère une suite $K = F'_0 \supseteq \dots \supseteq F'_k = F'$ telle que $F'_i \in \mathcal{F}_{\text{exp}}(F'_{i-1})$ pour tout i . Si F'_i s'écrit $F'_{i-1} \cap H$ avec H hyperplan d'appui F'_{i-1} , alors :

$$F \cap F'_i = (F \cap F'_{i-1}) \cap H$$

et H est un hyperplan d'appui de $F \cap F'_{i-1}$. Ainsi $F \cap F'_i \in \mathcal{F}_{\text{exp}}(F \cap F'_{i-1})$, et c'est évidemment aussi le cas si F'_i est vide. La suite :

$$F = F \cap F'_0 \supseteq \dots \supseteq F \cap F'_k = F'$$

montre finalement que F' est une face de F .

Proposition 1.1.12

| Si F est une face de K , alors $\text{ext } F = F \cap \text{ext } K$.

—— Démonstration ———

On peut supposer que F est une face exposée non vide, et on écrit dans ce cas $F = H \cap K$ avec H hyperplan d'appui de K . Étant donné $a \in \text{ext } F$, il existe un vecteur u non nul tel que :

$$H = \{ x \mid \langle x - a, u \rangle = 0 \} \quad \text{et} \quad \forall x \in K, \langle x - a, u \rangle \leq 0$$

Supposons qu'il existe $0 < \lambda < 1$ et deux points distincts x et y de K tels que $a = \lambda x + (1 - \lambda)y$. Alors :

$$\lambda \langle x - a, u \rangle + (1 - \lambda) \langle y - a, u \rangle = 0$$

ce qui impose que x et y appartiennent à F . C'est absurde, d'où :

$$\text{ext } F \subseteq F \cap \text{ext } K$$

et l'inclusion réciproque est immédiate.

Corollaire 1.1.13

| Les points extrémaux de K sont exactement les faces singletons.

—— Démonstration ———

Soit $\{x\}$ une face singleton de K .

1.2 Polytopes convexes

Définition 1.2.1

| Un *polytope convexe* est un convexe non vide qui est intersection finie de demi-espaces fermés dans son enveloppe affine.

| Les 0-faces et 1-faces d'un polytope sont respectivement appelés *sommets* et *arêtes*.

1.2.2. Étant donné un polytope convexe K , on fixe une famille minimale de demi-espaces fermés D_1, \dots, D_r de $\text{aff } K$ vérifiant :

$$K = \bigcap_{i=1}^r D_i$$

et on écrit :

$$D_i = \{ x \mid \langle x - a, u_i \rangle \leq \theta_i \} \quad \text{et} \quad F_i = \partial D_i \cap K$$

pour tout $1 \leq i \leq r$.

1.2.2.1. Finalement :

$$\partial K = \bigcup_{i=1}^r F_i$$

1.2.2.2. ALORS $\overline{\mathcal{F}}(K) = \{F_1, \dots, F_r\}$.

1.2.2.3. Finalement, étant donné un indice $1 \leq i \leq r$, tout élément de $\overline{\mathcal{F}}(F_i)$ est intersection de deux éléments de $\overline{\mathcal{F}}(K)$.

Proposition 1.2.3

| Une face propre de K est intersection finie d'éléments de $\overline{\mathcal{F}}(K)$.

—— Démonstration ———

On raisonne par récurrence sur la dimension d de K :

- si K est réduit à un point, alors l'énoncé est vide.
- si $d \geq 1$, ALORS

On déduit immédiatement de ce qui précède :

Théorème 1.2.4

| Si K est un polytope convexe, alors les faces exposées de K sont exactement ses faces propres et sont en nombre fini.

1.2.5. DIGRESSION, ORGANISER LES PROPS SUIVANTES

Proposition 1.2.6

Soit K un polytope convexe.

Si D_1, \dots, D_r sont des demi-espaces fermés de l'espace E ambiant tels que :

$$K = \bigcap_{i=1}^r D_i$$

En notant $F_i = \partial D_i \cap K$ pour tout $1 \leq i \leq r$, les faces de K sont alors exactement les intersections dans K d'un nombre fini de F_i .

—— Démonstration ———

Corollaire 1.2.7

Si K_1 et K_2 sont deux polytopes convexes, alors :

$$\mathcal{F}(K_1 \cap K_2) = \{ F_1 \cap F_2 \mid (F_1, F_2) \in \mathcal{F}(K_1) \times \mathcal{F}(K_2) \}$$

—— Démonstration ———

On peut écrire dans E :

$$K_1 = \bigcap_{i=1}^r D_i \quad \text{et} \quad K_2 = \bigcap_{i=r+1}^{r+s} D_i$$

où les D_i sont des demi-espaces fermés. Alors :

$$K_1 \cap K_2 = \bigcap_{i=1}^{r+s} D_i$$

et la (PROP PRECEDENTE) permet de conclure.

1.3 Cellules linéaires

Définition 1.3.1

Une *cellule linéaire* est l'enveloppe convexe d'un nombre fini de points.

1.3.2. DISCUTER UN PEU

Lemme 1.3.3

| Si K est une cellule, alors tout point d'une k -face de K appartient à l'enveloppe convexe de $k + 1$ points extrémaux de K .

—— Démonstration ———

Le résultat suivant est fondamental :

Théorème 1.3.4

| Les cellules sont exactement les polytopes bornés.

—— Démonstration ———

Définition 1.3.5

| Un *complexe* est un ensemble localement fini Δ de cellules tel que :

- (i) si K_1 et K_2 sont deux cellules distinctes de Δ alors $\text{int } K_1$ et $\text{int } K_2$ sont disjoints ;
- (ii) si $K \in \Delta$, alors ∂K est réunion de cellules de Δ .

| Un *sous-complexe* de Δ est un complexe $\Sigma \subseteq \Delta$.

1.4 Simplexes et complexes simpliciaux

Définition 1.4.1

| Un *simplexe* est une cellule dont les points extrémaux sont affinement indépendants.

METTRE LA REMARQUE

Définition 1.4.2

| Un *complexe simplicial* de \mathbf{R}^d est un ensemble localement fini Δ de simplexes tel que :

- (i) chaque face d'un simplexe de Δ est dans Δ ;
- (ii) l'intersection de deux simplexes de Δ est une face commune aux deux.

| Un *sous-complexe* de Δ est un complexe simplicial $\Sigma \subseteq \Delta$.

METTRE L'EXEMPLE

Définition 1.4.3

| Si Δ est un complexe simplicial, on définit la réalisation géométrique de Δ comme étant l'espace topologique :

$$|\Delta| = \bigcup \Delta$$

Une *triangulation* d'un espace topologique X est alors la donnée d'un complexe simplicial Δ et d'un homéomorphisme $X \simeq |\Delta|$.

Définition 1.4.4

Soit Δ un complexe simplicial.

Une *subdivision* de Δ est un complexe simplicial Σ tel que :

$$|\Sigma| = |\Delta|$$

et dont chaque simplexe est inclus dans un simplexe de Δ .

Théorème 1.4.5

Deux complexes simpliciaux qui réalisent le même polyèdre (A DEFINIR) possèdent une subdivision commune.

— Démonstration —

Soient Δ_1 et Δ_2 deux complexes simpliciaux de \mathbf{R}^d tels que :

$$|\Delta_1| = |\Delta_2|$$

On va construire une suite croissante $(\Sigma_k)_{k \leq d}$ de complexes vérifiant pour tout k :

- (i) $\dim \Sigma_k \leq k$
- (ii) si $\sigma_1 \in \Delta_1$ et $\sigma_2 \in \Delta_2$ sont d'intersection k -dimensionnelle :

$$\sigma_1 \cap \sigma_2 = \bigcup_{\substack{\sigma \in \Sigma_k \\ \sigma \subseteq \sigma_1 \cap \sigma_2}} \sigma$$

$$(iii) |\Sigma_k| = \bigcup_{\dim(\sigma_1 \cap \sigma_2) \leq k} (\sigma_1 \cap \sigma_2)$$

On pose naturellement :

$$\Sigma_0 = \{ \sigma_1 \cap \sigma_2 \mid \dim(\sigma_1 \cap \sigma_2) = 0 \}$$

L'ensemble $\Delta_1 \cup \Delta_2$ étant localement fini, c'est également le cas de Σ_0 . Étant constitué de simplexes réduits à des points, il s'agit d'un complexe simplicial.

Supposons maintenant avoir construit le complexe Σ_{k-1} .

Étant donnés des simplexes $\sigma_1 \in \Delta_1$ et $\sigma_2 \in \Delta_2$ tels que $\dim(\sigma_1 \cap \sigma_2) = k$, on note b l'isobarycentre de la cellule $\sigma_1 \cap \sigma_2$ et :

$$F(\sigma_1, \sigma_2) = \{ \sigma \in \Sigma_{k-1} \mid \sigma \subseteq \sigma_1 \cap \sigma_2 \}$$

On commence par remarquer, Σ_{k-1} étant localement fini et $\sigma_1 \cap \sigma_2$ compact, que l'ensemble $F(\sigma_1, \sigma_2)$ est fini.

Assertion 1 *Chaque simplexe de $F(\sigma_1, \sigma_2)$ est contenu dans une face propre de $\sigma_1 \cap \sigma_2$.*

— Démonstration —

Soit $\sigma \in F(\sigma_1, \sigma_2)$. D'après le (COROLLAIRE 1.14), on a :

$$(\sigma_1 \cap \sigma_2) \cap |\Sigma_{k-1}| \subseteq \bigcup \mathcal{F}_{\text{exp}}(\sigma_1 \cap \sigma_2)$$

d'où $\sigma \subseteq \bigcup \mathcal{F}_{\text{exp}}(\sigma_1 \cap \sigma_2)$. Si λ désigne la mesure de Lebesgue sur $\text{aff } \sigma$, alors :

$$0 < \lambda(\sigma) \leq \sum_{\omega} \lambda(\omega \cap \text{aff } \sigma)$$

et il existe une face propre ω de $\sigma_1 \cap \sigma_2$ telle que $\lambda(\omega \cap \text{aff } \sigma) > 0$. Par égalité des dimensions :

$$\begin{aligned} \text{aff } \sigma &= \text{aff}(\omega \cap \text{aff } \sigma) \\ &\subseteq \text{aff } \omega \cap \text{aff } \sigma \\ &\subseteq \text{aff } \omega \end{aligned}$$

Finalement $\sigma \subseteq \text{aff } \omega \cap (\sigma_1 \cap \sigma_2) = \omega$.

Assertion 2 Si $\sigma = [a_0, \dots, a_r]$ est un simplexe de $F(\sigma_1, \sigma_2)$, alors $\tau = [b, a_0, \dots, a_r]$ est un simplexe inclus dans $\sigma_1 \cap \sigma_2$ et $\tau \cap |\Sigma_{k-1}| = \sigma$.

— Démonstration —

Étant donné H un hyperplan d'appui de $\sigma_1 \cap \sigma_2$ dans $\text{aff}(\sigma_1 \cap \sigma_2)$, on écrit :

$$H = \{ x \mid \langle x, u \rangle = \theta \} \quad \text{et} \quad \forall x \in (\sigma_1 \cap \sigma_2), \quad \langle x, u \rangle \leq \theta$$

avec u un vecteur non nul et θ un réel. Un argument de dimension montre l'existence d'un sommet de $\sigma_1 \cap \sigma_2$ hors de H , d'où $\langle b, u \rangle < \theta$ et $b \notin H$ (A CORRIGER).

1.4.6. Subdivision cristalline. — □

2

Homologie simpliciale

2.1 Triangulation des variétés

Oui mais non